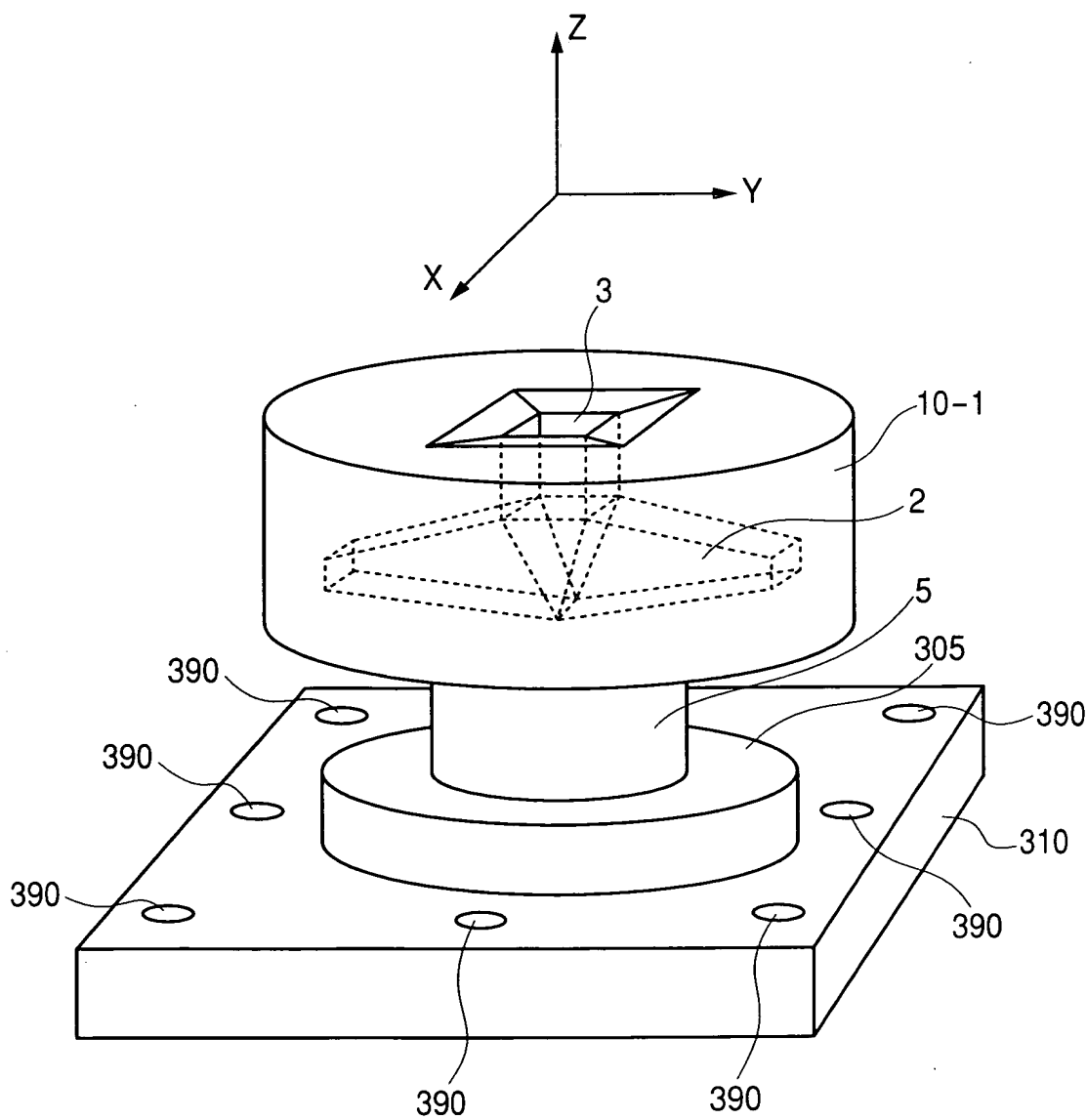


10/018430

1721

FIG. 1

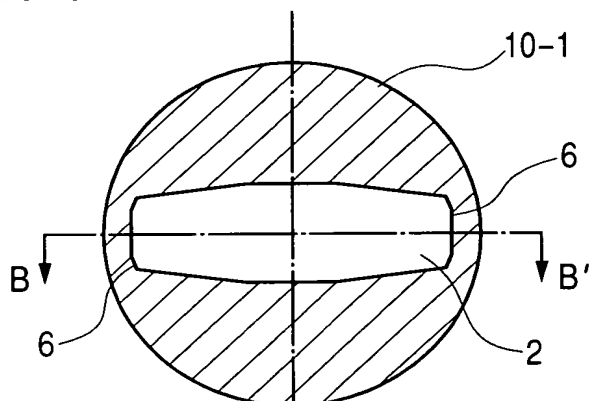


10/018430

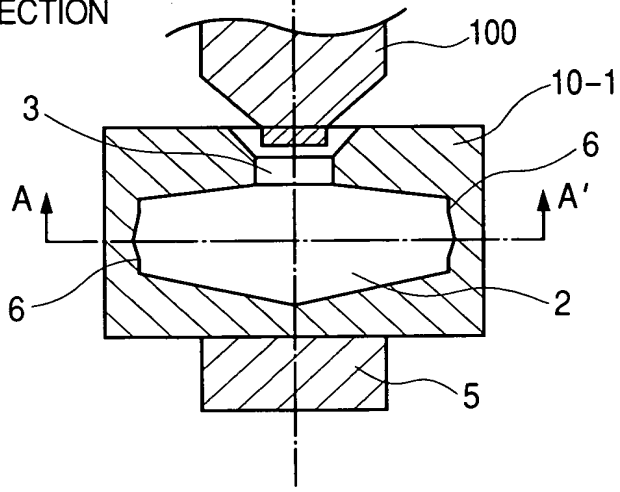
2/21

FIG. 2

A-A' CROSS SECTION

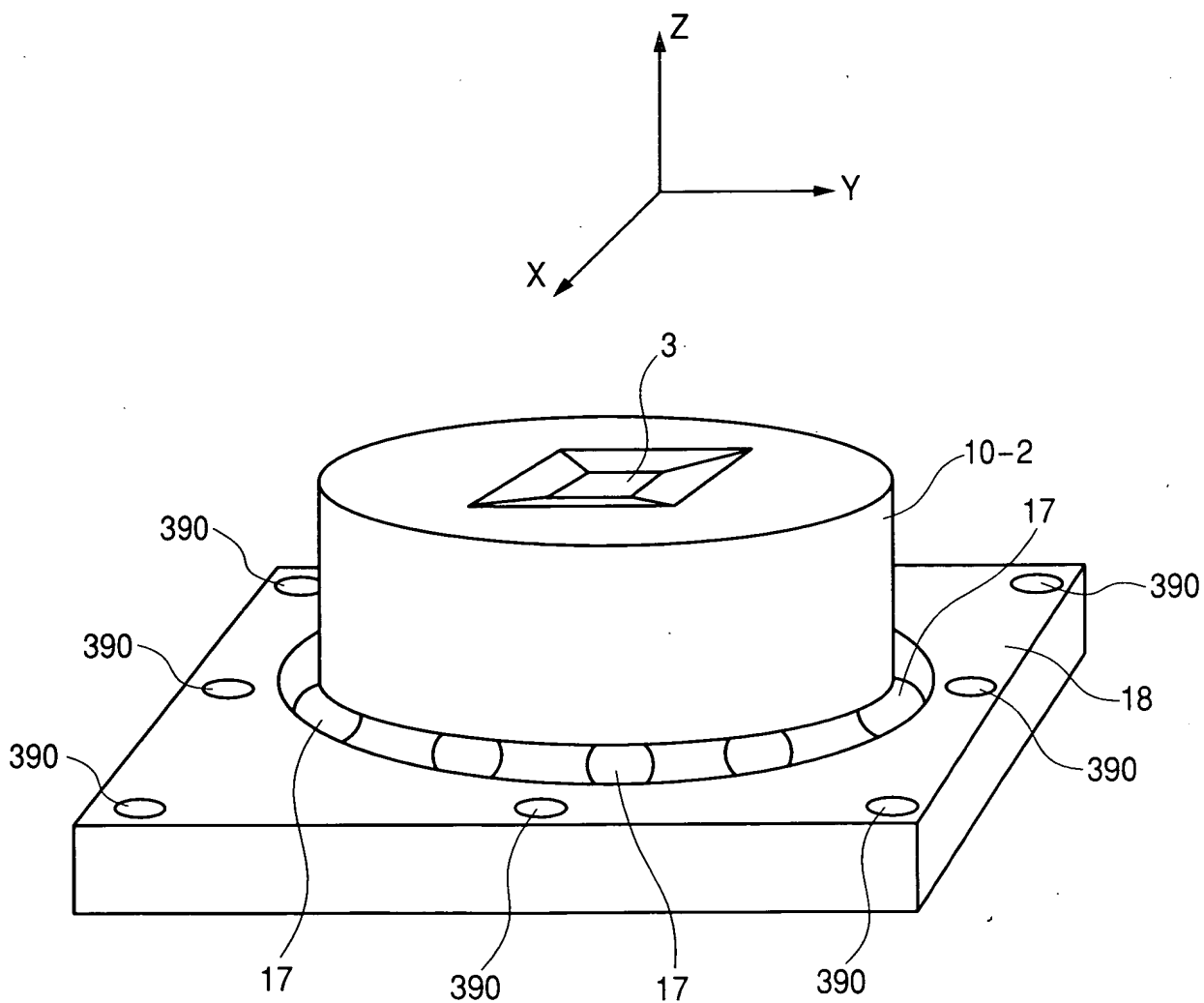


B-B' CROSS SECTION



10/018430

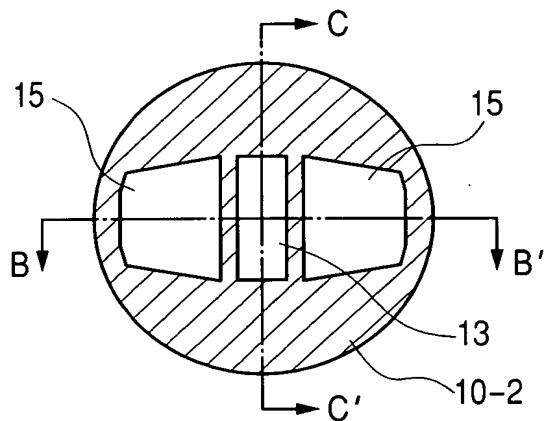
3 / 21

FIG. 3

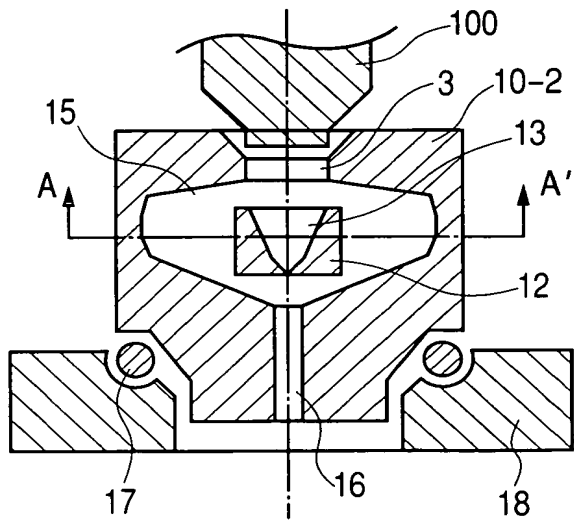
10/018430

FIG. 4

A-A' CROSS SECTION



B-B' CROSS SECTION



C-C' CROSS SECTION

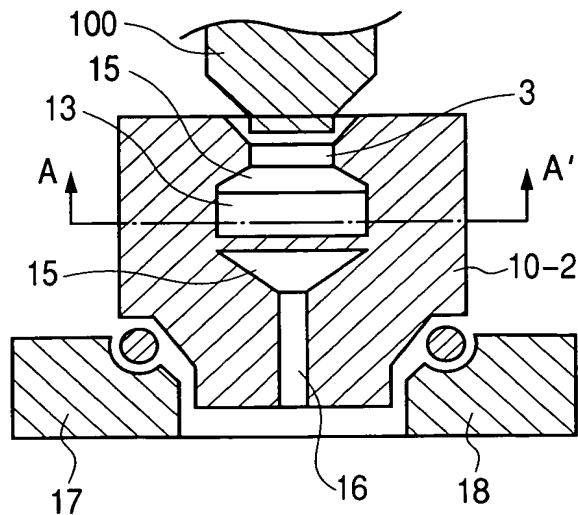
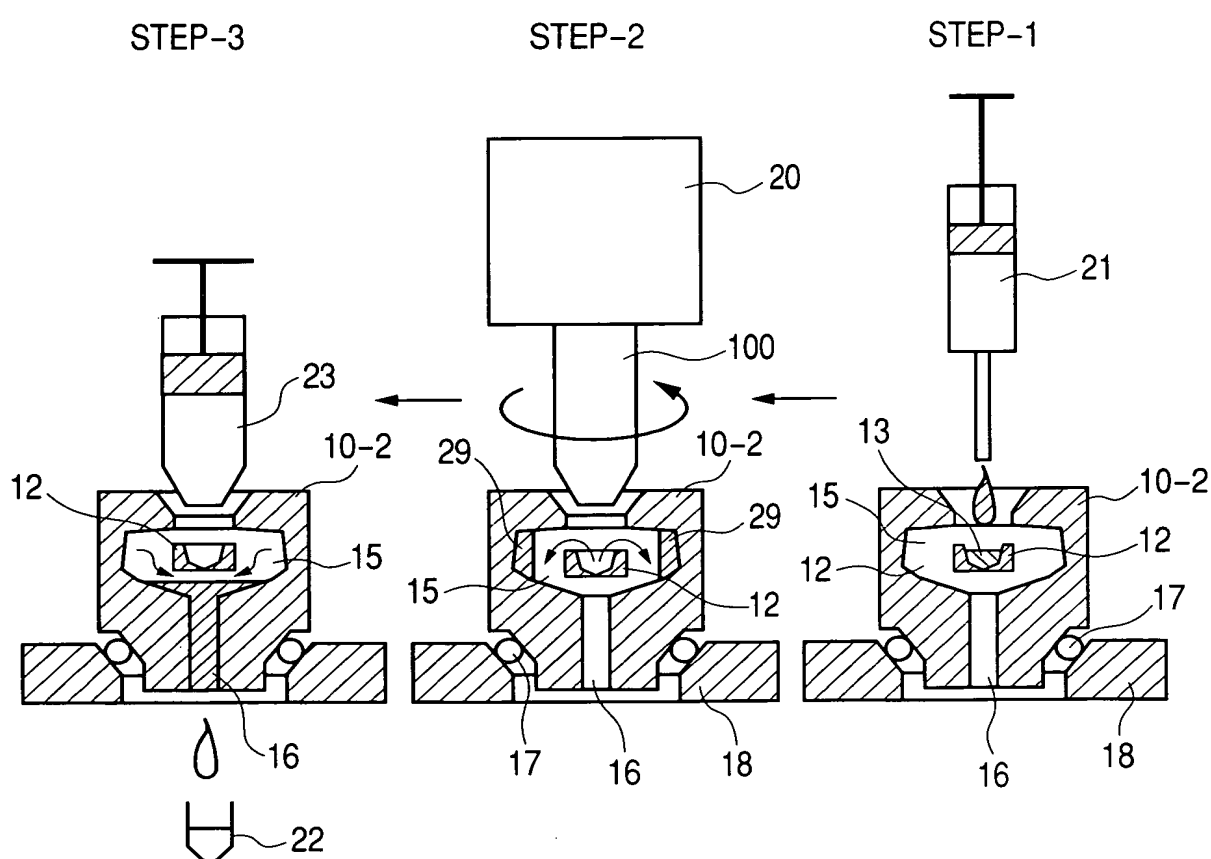


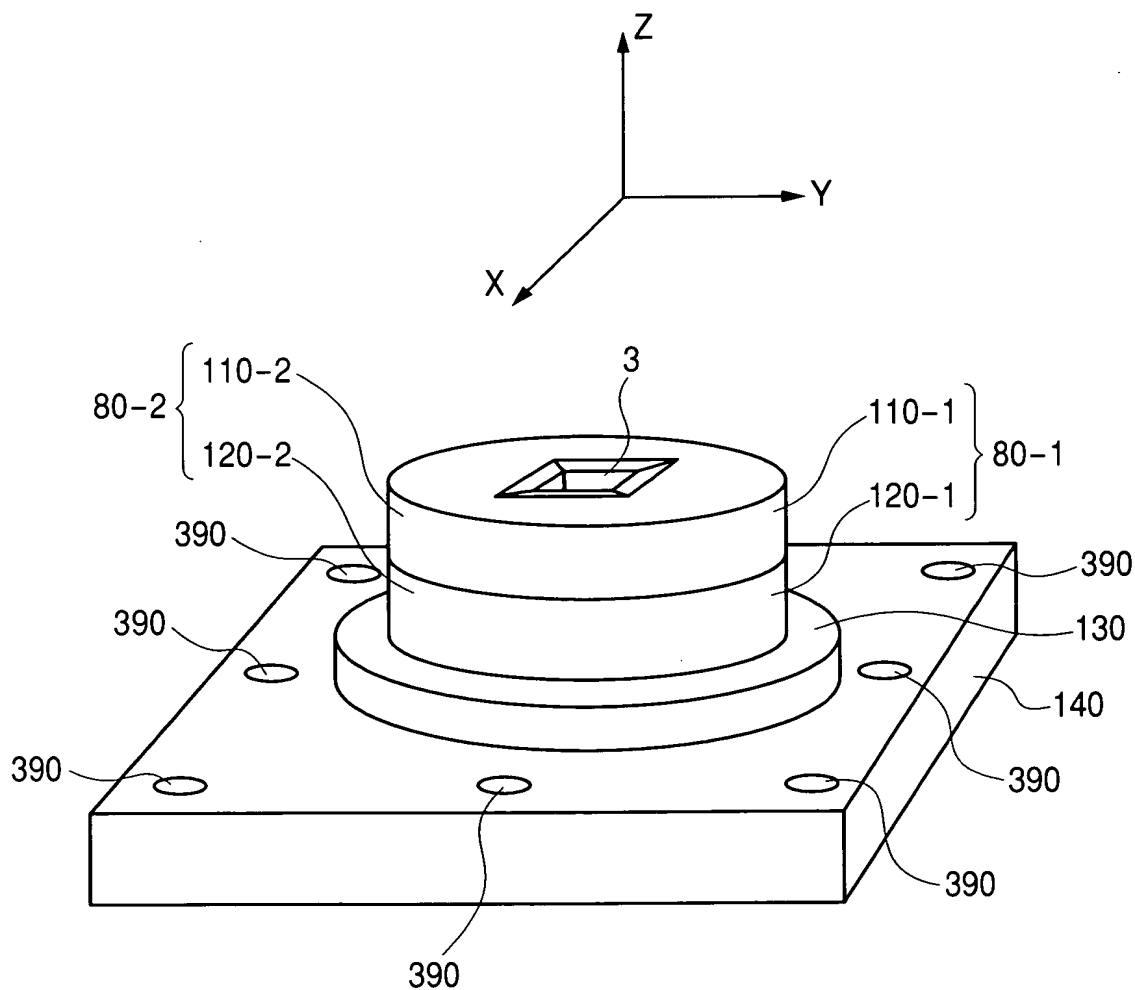
FIG. 5



10/018430

6/21

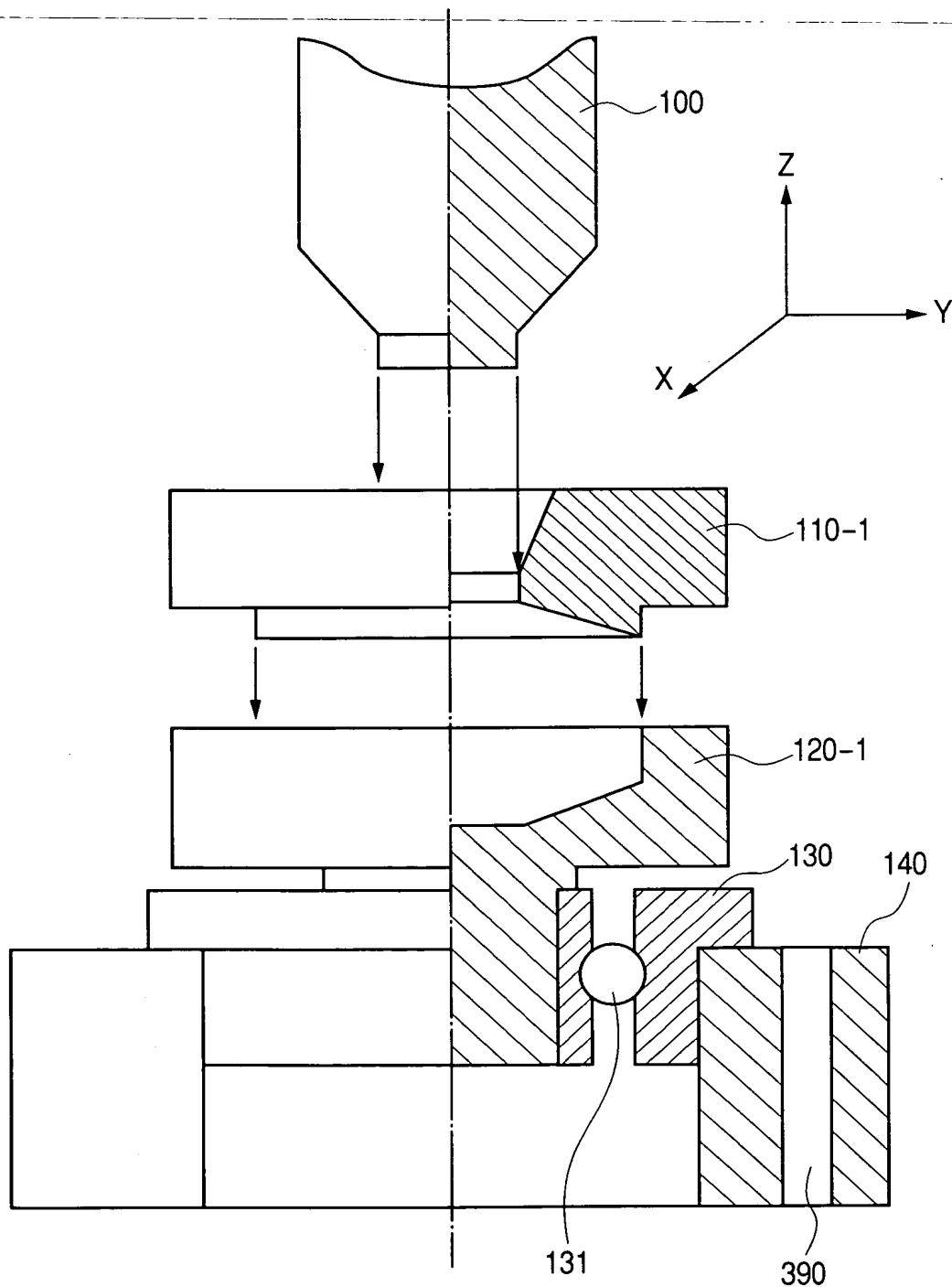
FIG. 6



10/018430

7 / 21

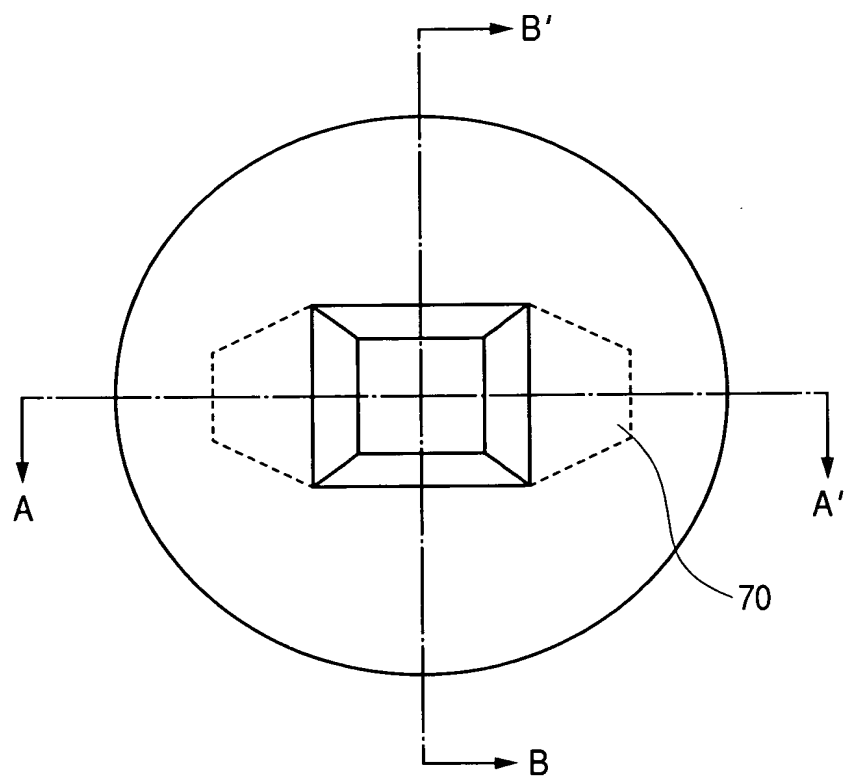
FIG. 7



10/018430

8/21

FIG. 8

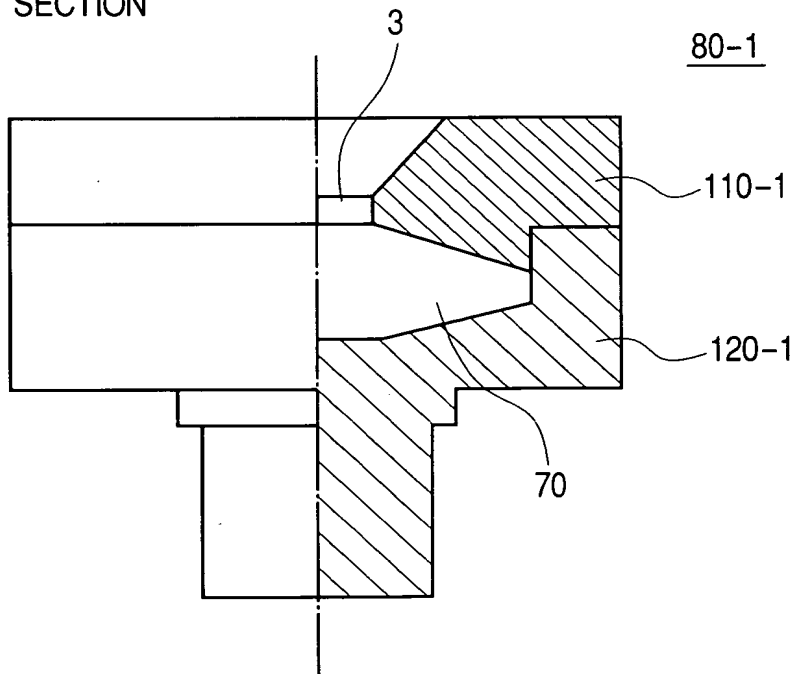


10/018430

9 / 21

FIG. 9

A-A' CROSS SECTION



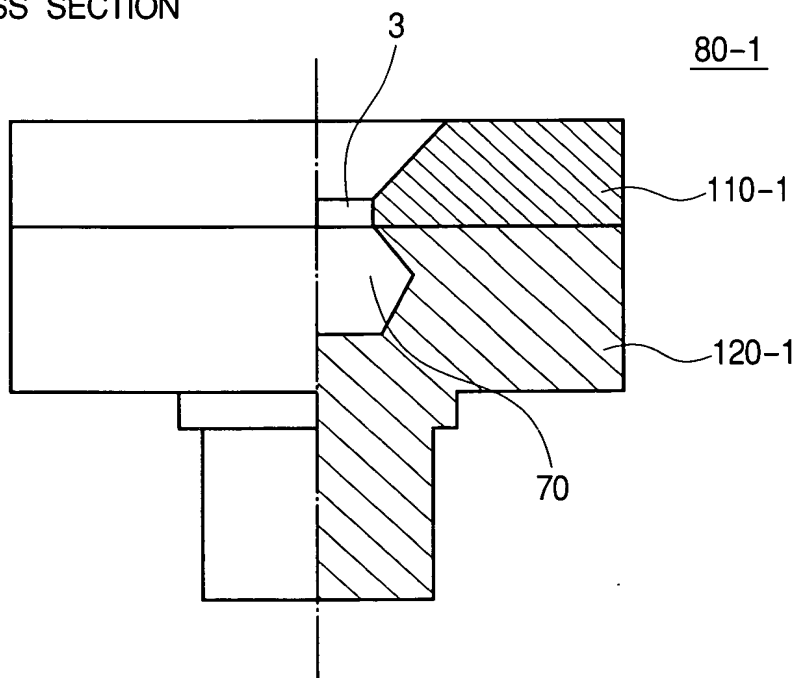
OKANO et al.

10/018430

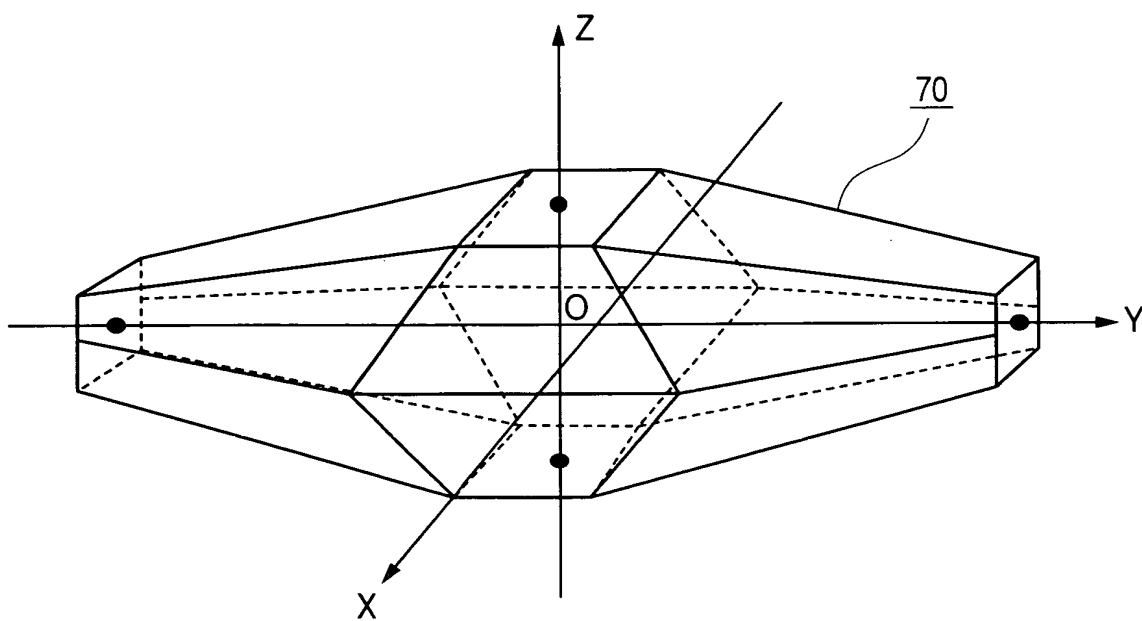
10/21

FIG. 10

B-B' CROSS SECTION

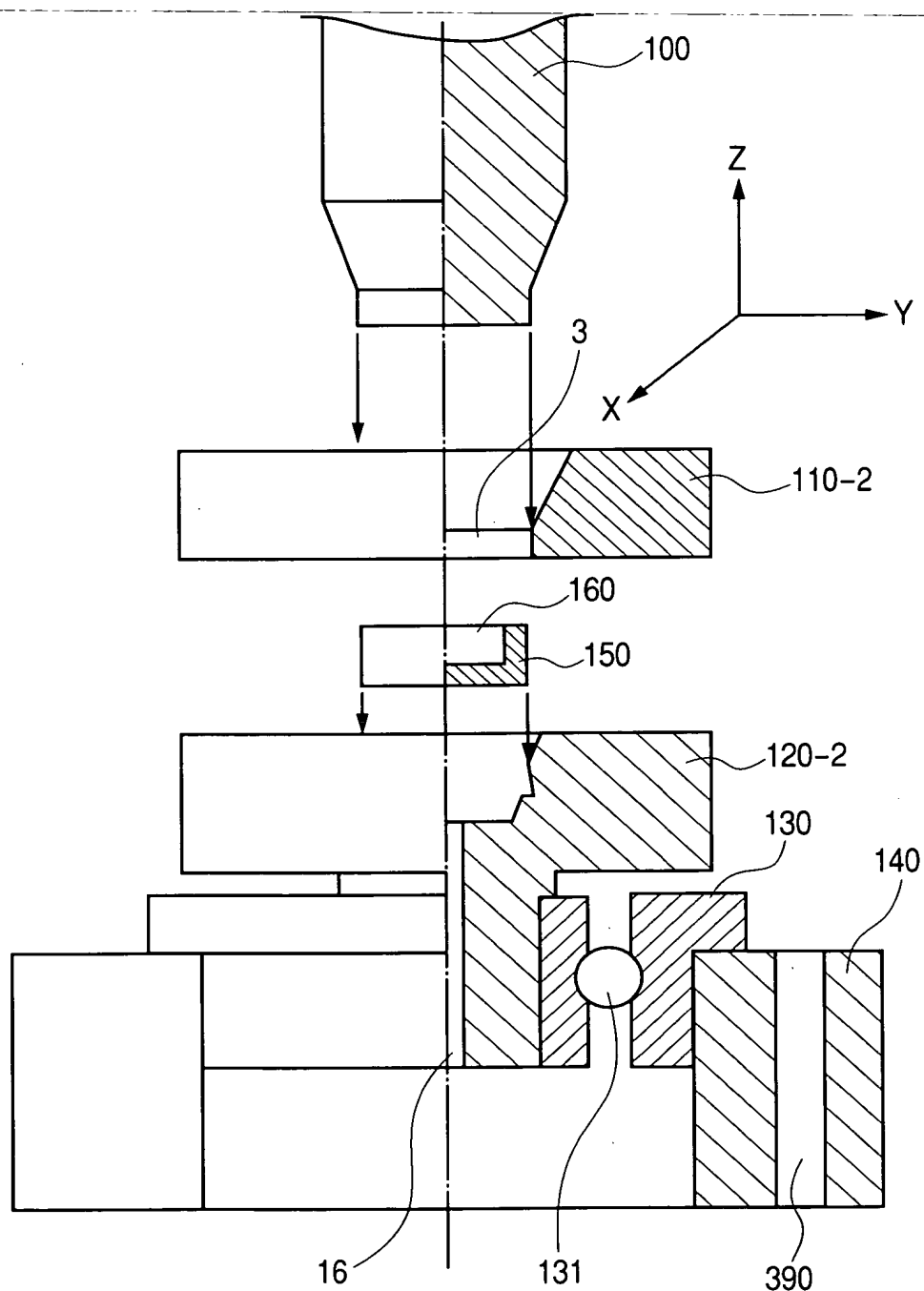


30018430-122001

FIG. 11

12 / 21

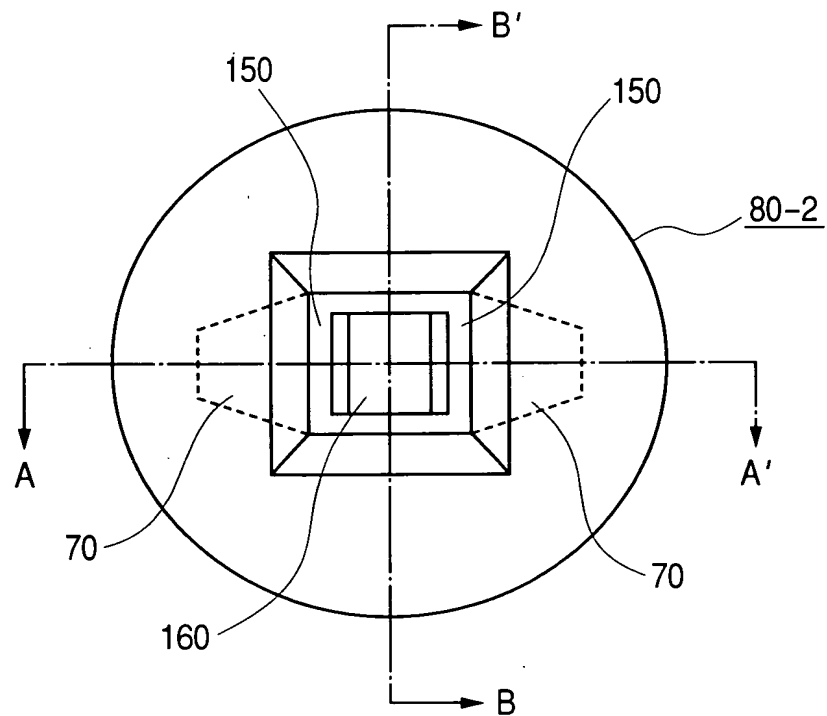
FIG. 12



10/018430

13 / 21

FIG. 13

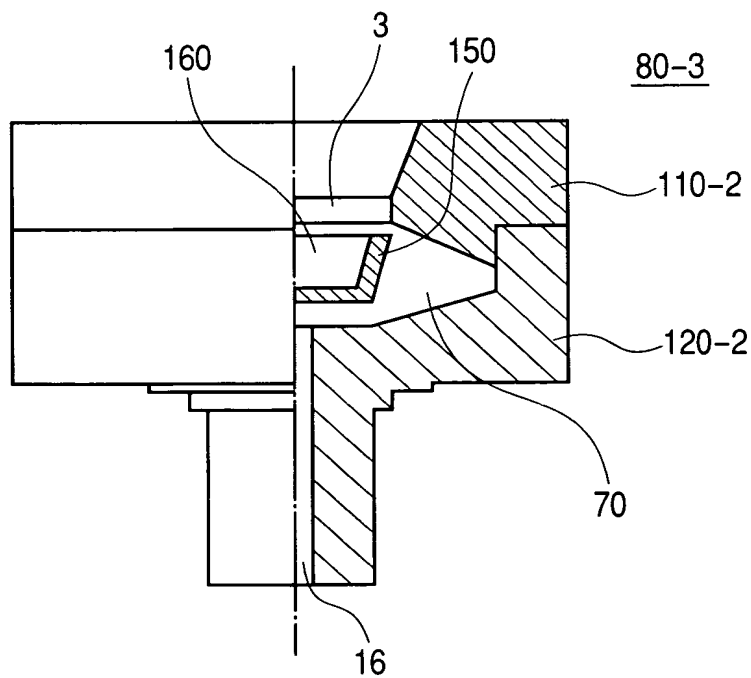


10/018430

14 / 21

FIG. 14

A-A' CROSS SECTION



10018430 1001

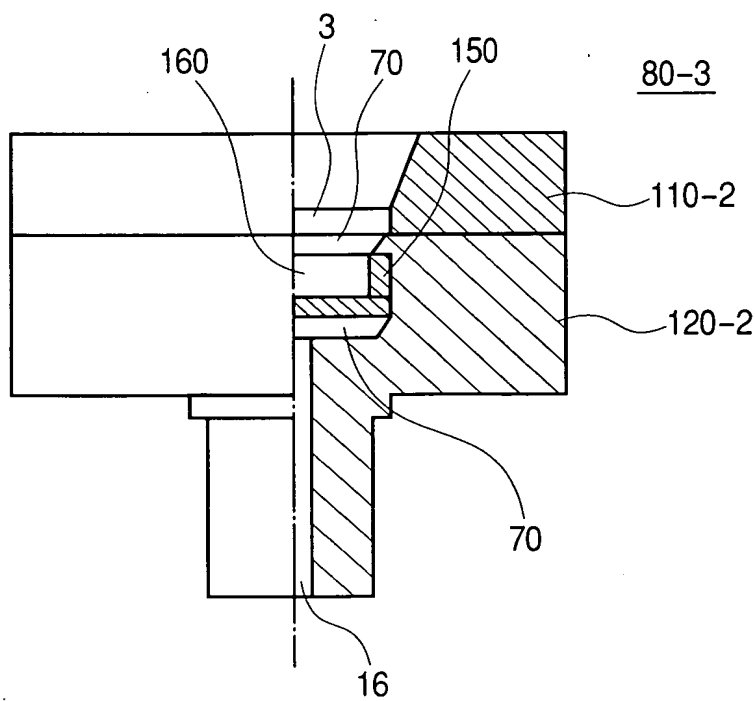
10/018430

KANO et al.

15 / 21

FIG. 15

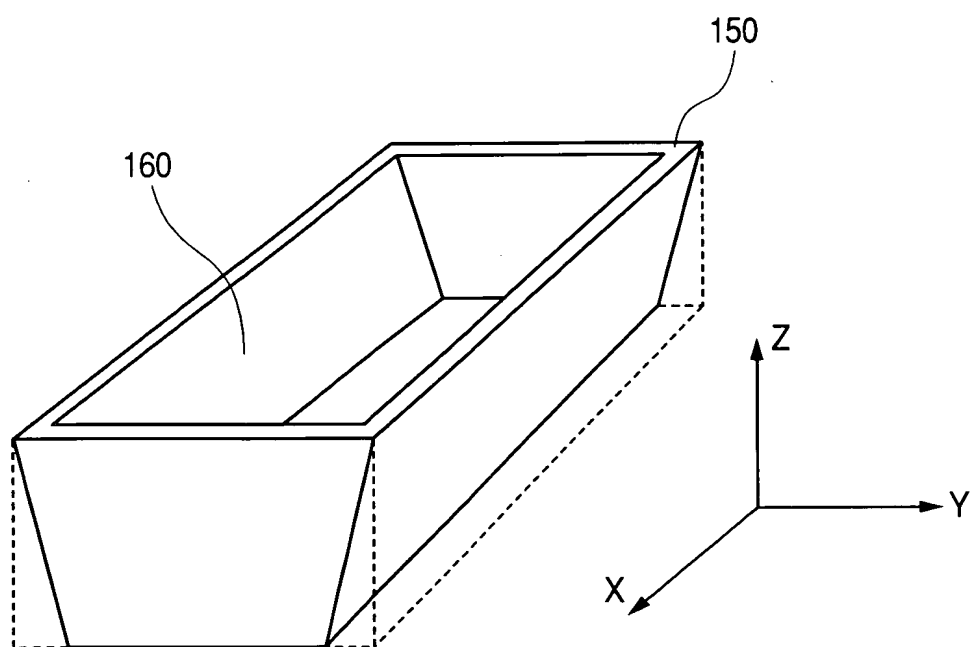
B-B' CROSS SECTION



10018430-122001

16 / 21

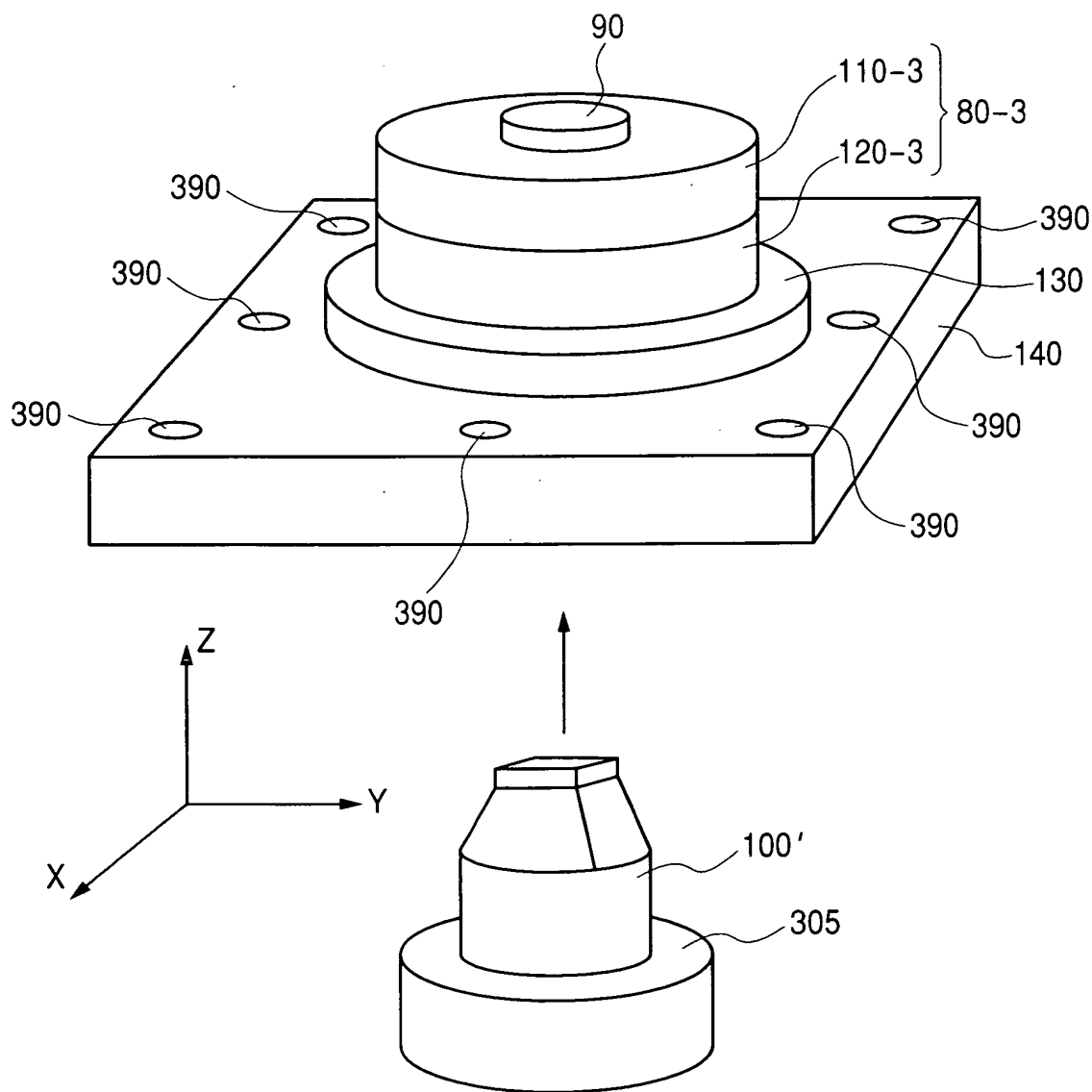
FIG. 16



10/018430

17 / 21

FIG. 17

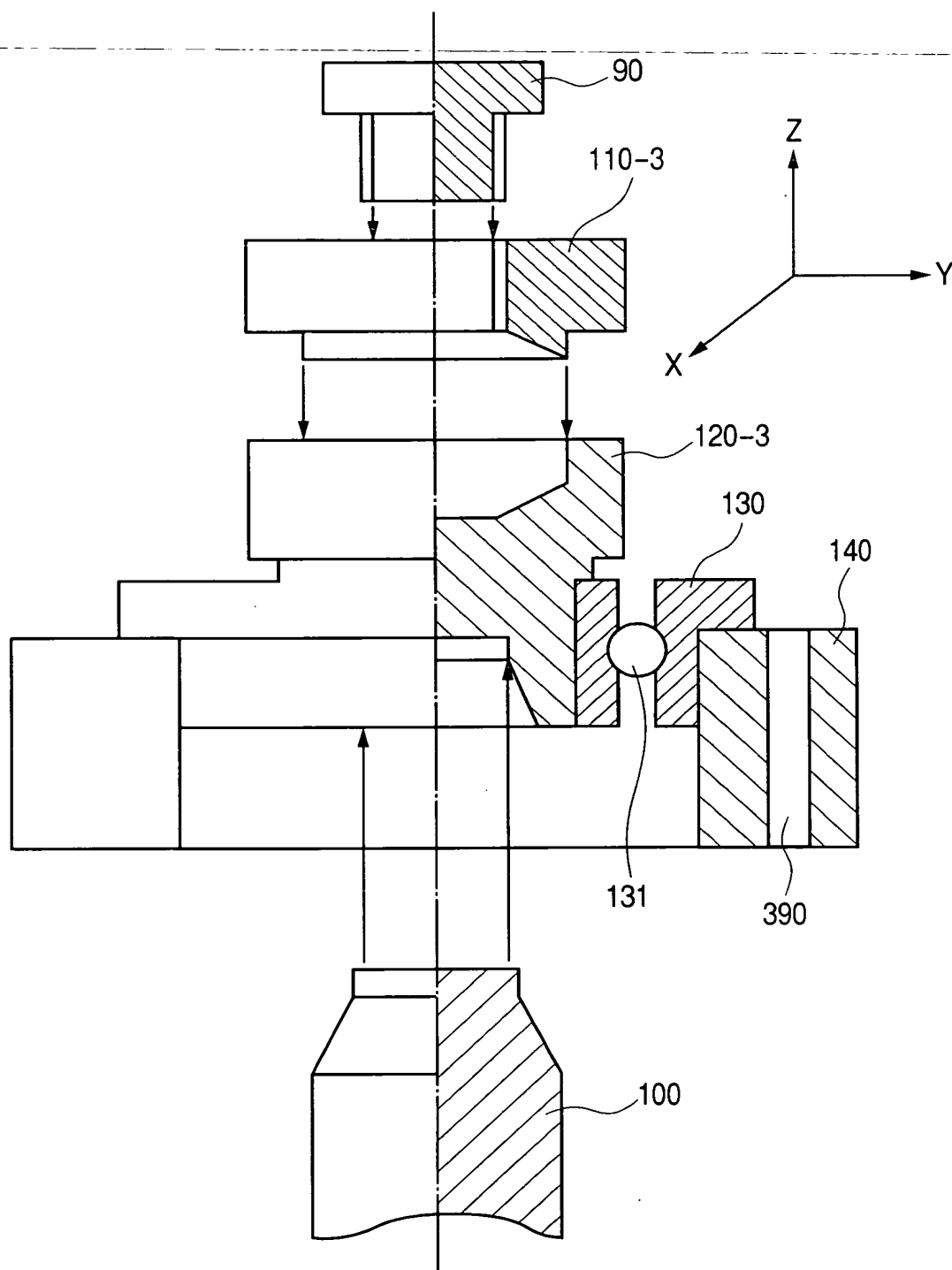


100-12430-122003

10/018430

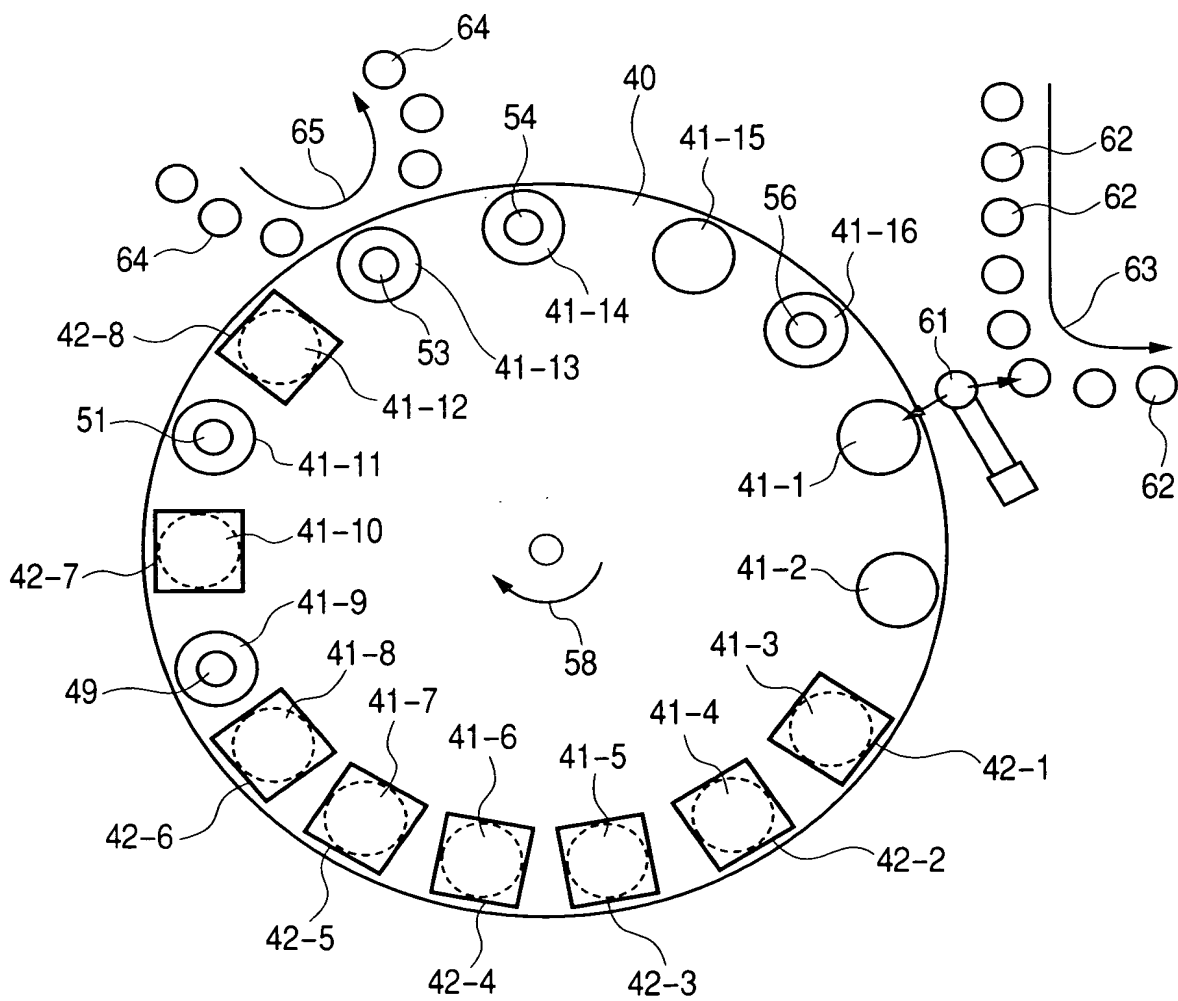
18/21

FIG. 18



10/018430

FIG. 19



20 / 21

FIG. 20

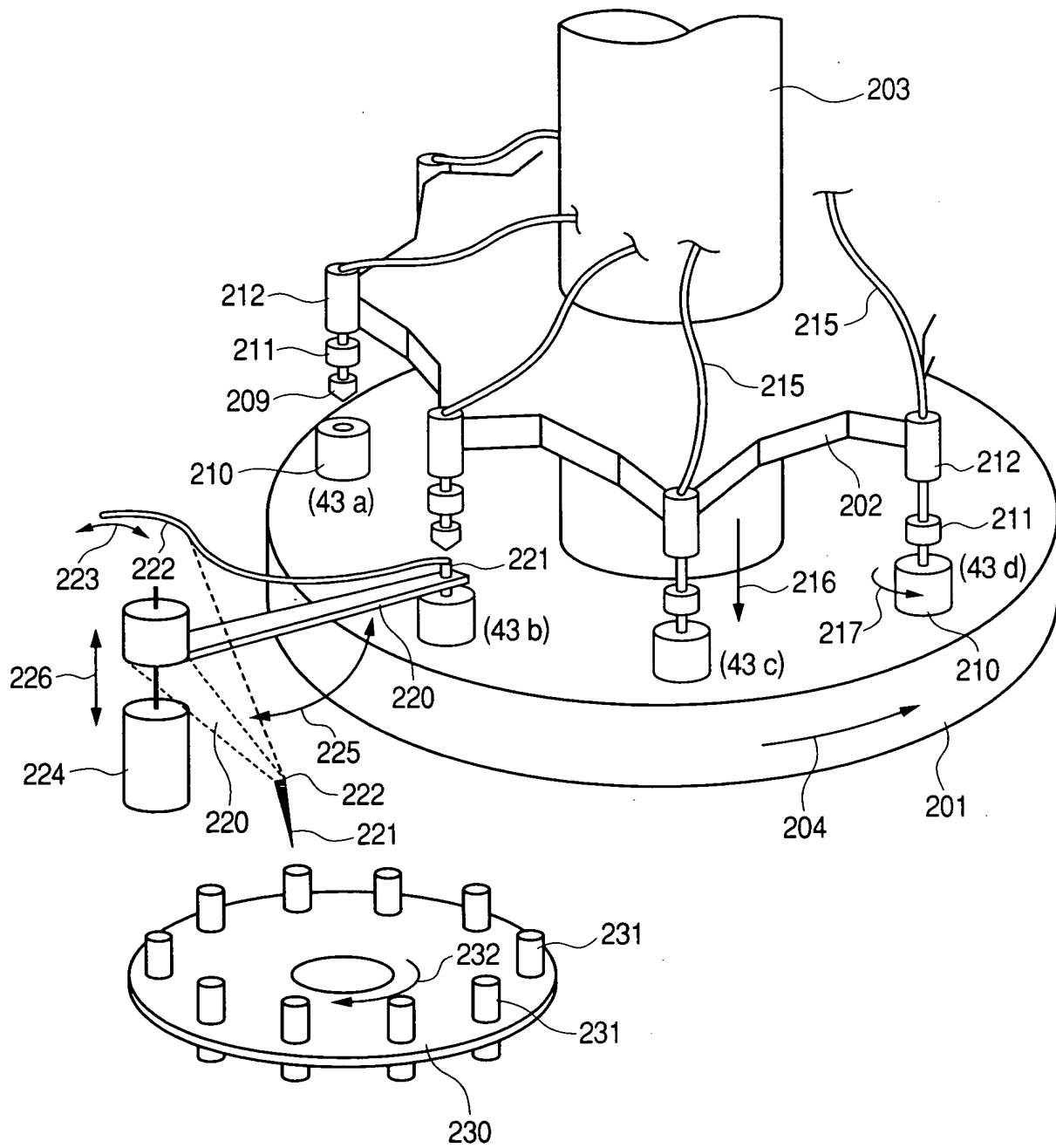


FIG. 21

